

INSTITUTO SUPERIOR TÉCNICO

**Análise e Síntese de Algoritmos**

Ano Lectivo 2021/2022

1º Exame

---

**RESOLUÇÃO**

---

**Cotação:  $4 + 4 + 4 + 4 + 4 = 20$  val.**

**A)** Dado um conjunto de inteiros  $V = \{v_1, \dots, v_n\}$ , pretende determinar-se se é possível dividir  $V$  em três subconjuntos disjuntos de modo a que a somas dos seus elementos coincidam. Formalmente, pretende determinar-se se existem três conjuntos  $V_1$ ,  $V_2$  e  $V_3$  tais que: **(1)**  $V = V_1 \cup V_2 \cup V_3$ ; **(2)**  $V_1 \cap V_2 = V_2 \cap V_3 = V_1 \cap V_3 = \emptyset$ ; and **(3)**  $\sum_{v \in V_1} v = \sum_{v \in V_2} v = \sum_{v \in V_3} v$ . Por exemplo, o conjunto  $\{1, 2, 4, 5, 6\}$  pode ser dividido nos subconjuntos:  $\{1, 5\}$ ,  $\{2, 4\}$  e  $\{6\}$ , todos com soma 6.

*Nota:* Admite-se, para simplificar a formulação do problema, que os elementos do conjunto dado como input estão indexados, sendo que se denota por  $v_i$  o  $i$ -ésimo elemento do conjunto.

1. Seja  $B^{(m)}(k_1, k_2)$  o booleano que indica se existem dois conjuntos disjuntos  $V'_1$  e  $V'_2$  contidos no conjunto  $\{v_1, \dots, v_m\}$ , com  $m \leq n$ , tais que:  $\sum_{v \in V'_1} v = k_1$  e  $\sum_{v \in V'_2} v = k_2$ . Por exemplo, dado o conjunto  $\{1, 2, 4, 5, 6\}$ , temos que:

- $B^{(4)}(6, 6) = \mathbf{true}$ , basta escolher  $V'_1 = \{1, 5\}$  e  $V'_2 = \{2, 4\}$ ;
- $B^{(4)}(3, 5) = \mathbf{true}$ , basta escolher  $V'_1 = \{1, 2\}$  e  $V'_2 = \{5\}$ ;
- $B^{(4)}(2, 3) = \mathbf{false}$ .

Defina  $B^{(m)}(k_1, k_2)$  recursivamente completando os campos em baixo:

$$B^{(m)}(k_1, k_2) = \begin{cases} \mathbf{false} & \text{se } ((k_1 \neq 0) \vee (k_2 \neq 0)) \wedge m = 0 \\ \boxed{\phantom{B^{(m-1)}(k_1 - v_m, k_2)}} & \text{se } k_1 = 0 \wedge k_2 = 0 \\ B^{(m-1)}(k_1 - v_m, k_2) \vee \boxed{\phantom{B^{(m-1)}(k_1 - v_m, k_2)}} \vee \boxed{\phantom{B^{(m-1)}(k_1 - v_m, k_2)}} & \text{c.c.} \end{cases}$$

Admite-se para facilitar a formulação que  $B^{(m)}(k_1, k_2) = \mathbf{false}$  quando  $k_1 < 0$  ou  $k_2 < 0$ .

2. Complete o template de código em baixo que, dados dois inteiros  $k_1$  e  $k_2$ , calcula a matriz  $B^{(0)}(k_1, k_2)$ .

```
InitMatrix( $k_1, k_2$ )
```

```
let  $B[0..k_1, 0..k_2]$  be a new matrix of size  $(k_1 + 1) \times (k_2 + 1)$ 
```

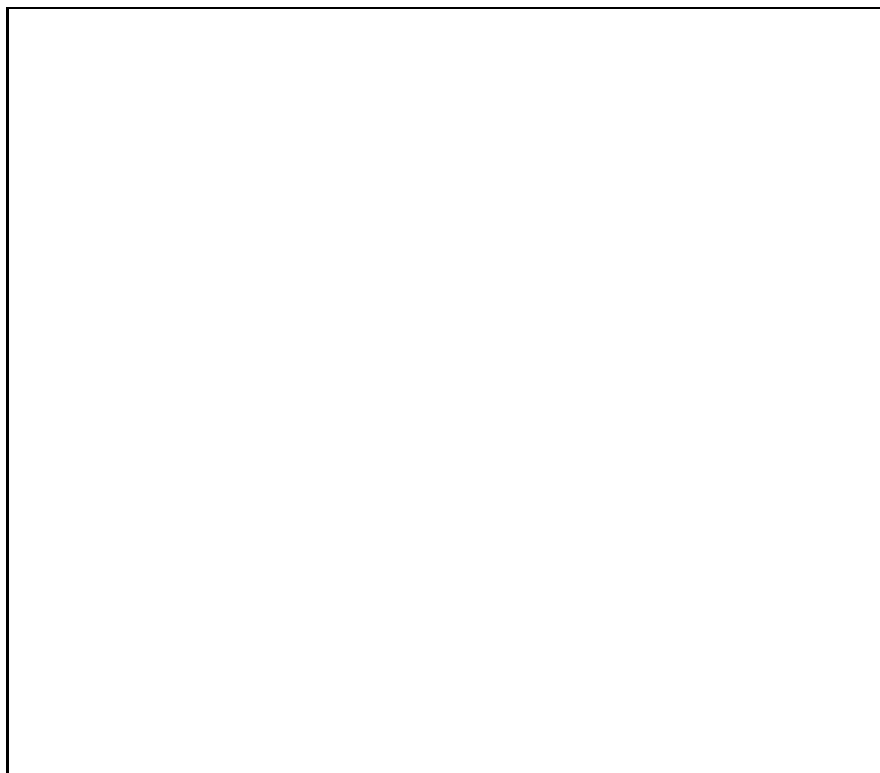
```
return  $B$ 
```

3. Complete o template de código em baixo que, dado um conjunto de inteiros  $V = \{v_1, \dots, v_n\}$  e dois inteiros  $k_1$  e  $k_2$ , calcula o valor booleano  $B^{(n)}(k_1, k_2)$ .

```

DoublePartition( $v[1..n]$ ,  $k_1$ ,  $k_2$ )
  let  $B^{(0)} := \text{InitMatrix}(k_1, k_2)$ 
  for  $l = 1$  to  $n$  do
    let  $B^{(l)}$  be a new matrix of size  $(k_1 + 1) \times (k_2 + 1)$ 

```



```

endfor
return  $B^{(n)}[k_1, k_2]$ 

```

4. Determine a complexidade assintótica do algoritmo proposto na alínea anterior.
5. Explique por palavras como obter a solução para o problema original a partir do algoritmo proposto na alínea 3.

**Solução:**

1.

$$B^{(m)}(k_1, k_2) = \begin{cases} \text{false} & \text{se } ((k_1 \neq 0) \vee (k_2 \neq 0)) \wedge m = 0 \\ \text{true} & \text{se } k_1 = 0 \wedge k_2 = 0 \\ B^{(m-1)}(k_1 - v_m, k_2) \vee B^{(m-1)}(k_1, k_2 - v_m) \vee B^{(m-1)}(k_1, k_2) & \text{c.c.} \end{cases}$$

2.

```

InitMatrix( $k_1$ ,  $k_2$ )
  let  $B[0..k_1, 0..k_2]$  be a new matrix of size  $(k_1 + 1) \times (k_2 + 1)$ 
  for  $i = 0$  to  $k_1$  do
    for  $j = 0$  to  $k_2$  do
       $B[i, j] := \text{false}$ 
    endfor
  endfor
   $B[0, 0] := \text{true}$ 
  return  $B$ 

```

3.

```

DoublePartition( $v[1..n]$ ,  $k_1$ ,  $k_2$ )
  let  $B^{(0)} := \text{InitMatrix}(k_1, k_2)$ 
  for  $l = 1$  to  $n$  do
    let  $B^{(l)}$  be a new matrix of size  $(k_1 + 1) \times (k_2 + 1)$ 
    for  $i = 0$  to  $k_1$  do
      for  $j = 0$  to  $k_2$  do
        if ( $i == 0 \wedge j == 0$ ) {
           $B^{(l)}[i, j] := \text{true}$ 
        } else {
           $b := B^{(l-1)}[i, j]$ 
          if ( $i \geq v[l]$ ) {
             $b := b \vee B^{(l-1)}[i - v[l], j]$ 
          }
          if ( $j \geq v[l]$ ) {
             $b := b \vee B^{(l-1)}[i, j - v[l]]$ 
          }
           $B^{(l)}[i, j] := b$ 
        }
      }
    }
  endfor
endfor
endfor
return  $B^{(n)}[k_1, k_2]$ 

```

4. Complexidade:  $O(n.k_1.k_2)$ . O algoritmo tem de preencher  $n + 1$  matrizes cada uma com dimensão  $(k_1 + 1) \times (k_2 + 1)$ .
5. Dado um conjunto de inteiros  $V = \{v_1, \dots, v_n\}$ , começamos por calcular a soma dos elementos do conjunto:  $\bar{v} = \sum_{v \in V} v$ . Depois, calculamos a divisão inteira de  $\bar{v}$  por 3. Se 3 não divide  $\bar{v}$ , o algoritmo retorna **false**. Caso contrário, seja  $k$  o valor do quociente obtido, i.e.  $3 * k = \bar{v}$ , a resposta ao problema proposto é dada por:  $\text{DoublePartition}(v[1..n], k, k)$ .

**B)** O gestor de pessoal do Hospital Central de Caracolândia foi encarregue de fazer a atribuição de cirurgias a blocos operatórios para o próximo mês tendo em conta as restrições indicadas em baixo:

- O hospital dispõe de  $k$  cirurgias  $\{C_1, \dots, C_k\}$ .
- O calendário mensal hospitalar é constituído por  $n$  slots para cirurgias  $\{S_1, \dots, S_n\}$ .
- O hospital dispõe de  $m$  blocos operatórios  $\{B_1, \dots, B_m\}$ , sendo que cada bloco operatório  $B_i$  está apenas disponível nos slots contidos no conjunto de slots  $\mathbf{BSlots}(B_i)$ .
- Cada cirurgião  $C_i$  pode apenas efectuar cirurgias nos blocos operatórios contidos no conjunto  $\mathbf{CBlocks}(C_i)$ .
- Nenhum cirurgião pode efectuar mais de **max** cirurgias por mês.
- Cada cirurgia envolve um único cirurgião.

O objectivo do gestor hospitalar é maximizar o número de cirurgias efectuadas, respeitando as restrições do problema, admitindo que:  $m < k < n$ .

1. Modele o problema descrito em cima como um problema de fluxo máximo. A resposta deve incluir o procedimento utilizado para determinar o conjunto de tuplos da forma  $(C_i, S_j, B_l)$ , indicando que o cirurgião  $C_i$  vai efectuar uma cirurgia no bloco  $B_l$  no slot  $S_j$ .
2. Indique o algoritmo que utilizaria para a calcular o fluxo máximo, bem como a respectiva complexidade assintótica medida em função dos parâmetros do problema: número de cirurgias  $k$ , número de slots  $n$  e número de blocos operatórios  $m$ . De entre os algoritmos de fluxo estudados nas aulas deve escolher aquele que garanta a complexidade assintótica mais baixa para o problema em questão.  
*Nota:* A resposta deverá necessariamente incluir as expressões que definem os limites superiores assintóticos para o número de vértices e de arcos da rede de fluxo proposta ( $|V|$  e  $|E|$ , respectivamente) em função dos parâmetros do problema, bem como um upper-bound para o valor do fluxo máximo.

### Solução:

1. *Construção da rede de fluxo*  $G = (V, E, w, s, t)$ . Na construção da rede de fluxo consideramos um vértice por cirurgião, um vértice por cada par bloco-slot compatíveis e dois vértices adicionais  $s$  e  $t$ , respectivamente a fonte e o sumidouro. Formalmente:

•

$$\begin{aligned}
 V = & \{C_i \mid 1 \leq i \leq k\} && \text{Um vértice por cirurgião} \\
 & \cup \{CS_{ij} \mid 1 \leq i \leq k \wedge 1 \leq j \leq n\} \\
 & \cup \{SB_{ij} \mid 1 \leq i \leq n \wedge 1 \leq j \leq m \wedge S_i \in \mathbf{BSlots}(B_j)\} && \text{Um v. por par bloco-slot compatíveis} \\
 & \cup \{s, t\} && \text{Fonte e sumidouro}
 \end{aligned}$$

•

$$\begin{aligned}
 E = & \{(s, C_i, \mathbf{max}) \mid_{i=1}^k\} && \text{Cada cirurgião pode fazer } \mathbf{max} \text{ cirurgias} \\
 & \cup \{(C_i, CS_{ij}, 1) \mid_{i=1}^k \mid_{j=1}^n\} && \text{cirurgões e slots} \\
 & \cup \{(CS_{ij}, SB_{jl}, 1) \mid B_l \in \mathbf{CBlocks}(C_i) \wedge S_j \in \mathbf{BSlots}(B_l)\} && \text{Blocos e slots} \\
 & \cup \{(SB_{ij}, t, 1) \mid_{i=1}^n \mid_{j=1}^m\} && \text{Blocos e slots}
 \end{aligned}$$

A resposta deve incluir o tuplo  $(C_i, S_j, B_l)$  sse  $f^*(CS_{ij}, SB_{jl}) = 1$ .

## 2. Complexidade:

- $|V| = k + k.n + m.n + 2 = O(k.n)$
- $|E| \leq k + k.n + k.n.m + m.n = O(k.m.n)$
- $|f^*| \leq m.n = O(m.n)$
- Edmonds Karp (upper bound de FF):  $O(|f^*|.E) = O(k.n.k.n.m) = O(k^2.n^2.m)$
- Edmonds Karp (upper bound EK):  $O(E^2.V) = O(k^3.m^2.n^3)$
- Relabel-To-Front:  $O(k^3.n^3)$

O limite mais apertado é obtido pelo upper bound do método de FF, pelo que podemos utilizar qualquer implementação do método Ford-Fulkerson.

C) Uma família com  $n$  membros  $\{M_1, \dots, M_n\}$  prepara-se para cozinhar a maior pizza de sempre. Para tal têm de escolher os ingredientes a incluir na pizza de entre  $k$  ingredientes disponíveis  $\{I_1, \dots, I_k\}$ . Cada familiar  $M_i$  deve indicar os ingredientes que não deseja incluir na pizza e os ingredientes que deseja incluir. Assim sendo, associamos a cada familiar  $M_i$  um par com dois conjuntos de ingredientes,  $(C_i, C'_i)$ , onde  $C_i$  contém os ingredientes a incluir e  $C'_i$  os ingredientes a excluir.

Tratando-se de uma família pouco conflituosa para que um familiar se considere satisfeito basta que uma das suas escolhas seja atendida: um dos seus ingredientes preferidos seja incluído ou um dos preteridos não o seja. Por exemplo, suponha que o pai quer fiambre e queijo e não quer ananás; para que a pizza escolhida satisfaça o pai, basta que contenha fiambre ou queijo ou não contenha ananás.

O problema da escolha de ingredientes para pizza, **PizzaIngredients**, consiste em determinar se existe um conjunto de ingredientes que satisfaça todos os membros da família e é modelado formalmente através do seguinte problema de decisão:

$$\mathbf{PizzaIngredients} = \{\langle \mathcal{I} \rangle \mid \text{existe uma escolha de ingredientes compatível com } \mathcal{I}\}$$

Onde  $\mathcal{I}$  denota o conjunto de pares que representam as escolhas da família.

1. Mostre que o problema **PizzaIngredients** está em **NP**.
2. Mostre que o problema da escolha dos ingredientes é **NP**-difícil por redução a partir do problema **3-CNFSAT** estudado nas aulas. Não é necessário provar formalmente a equivalência entre os dois problemas; é suficiente indicar a redução e a respectiva complexidade.

### Solução:

1.
  - *Certificado*: o conjunto  $X$  de ingredientes a incluir.
  - *Tamanho do Certificado*:  $|X| \in O(k)$
  - *Algoritmo de verificação*: Verificar se  $X$  é compatível com cada elemento do conjunto  $\mathcal{I}$ . Começamos por calcular o conjunto  $\bar{X} = \{I_1, \dots, I_k\} \setminus X$ . Para cada par  $(C_i, C'_i)$ , verificamos se:  $X \cap C_i \neq \emptyset$  ou  $\bar{X} \cap C'_i \neq \emptyset$ .
  - *Complexidade do algoritmo de verificação*: A intersecção de conjuntos faz-se em tempo linear, pelo que a verificação de cada par para custa:  $O(k)$ . Assim, a verificação de todos os  $n$  pares faz-se em tempo  $O(k.n)$ .
2. Há que mostrar que **3-CNFSAT**  $\leq_P$  **PizzaIngredients**.
  - *Redução*: Cada cláusula corresponde a um membro da família e cada variável a um ingrediente. As variáveis negadas na cláusula correspondem aos ingredientes a excluir e as variáveis não negadas aos ingredientes a incluir. Por exemplo, a cláusula  $(x_1 \vee \neg x_2 \vee x_3)$  é mapeada no par  $(\{x_1, x_3\}, \{x_2\})$ . A redução tem complexidade:  $O(n)$ , onde  $n$  é o número de cláusulas.

**D)** Considere a aplicação do algoritmo de Prim a grafos com arcos de peso inteiro não negativo e limitado superiormente por uma dada constante  $X$  de valor pequeno. Neste caso, pode utilizar-se uma implementação alternativa da fila de prioridade mínima por forma a melhorar a complexidade assintótica do algoritmo.

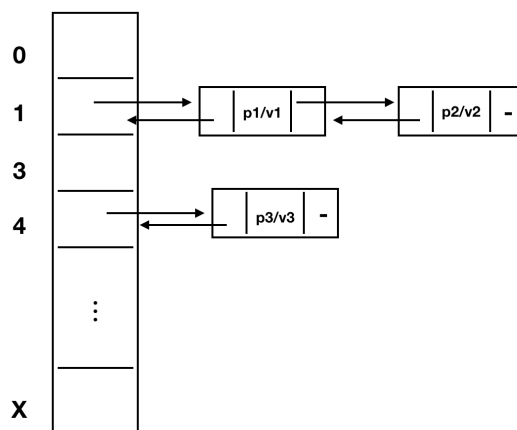
- Admitindo que as chaves a inserir na fila têm prioridade limitada por uma dada constante  $Z$  de valor pequeno, proponha uma implementação de uma fila de prioridade mínima com as seguintes operações e complexidades associadas:
  - ExtractMin**(Queue  $q$ )  $\in O(Z)$ : extrai o elemento de prioridade mínima;
  - DecreaseKey**(Queue  $q$ , Elem  $elem$ , int  $pri$ )  $\in O(1)$ : diminui a prioridade associada ao elemento  $elem$  na fila  $q$  para o valor  $pri$ ;
  - MakeQueue**(Elem[]  $elems$ )  $\in O(n)$ : cria uma fila de prioridade mínima com  $n$  elementos  $elems$  respeitando as prioridades que lhes estão associadas.

Não é necessário apresentar o pseudo-código. Basta fazer um diagrama que ilustre a estrutura da fila de prioridade e explicar por palavras a implementação das três operações. Pode admitir-se que cada elemento  $elem$  está associado a uma estrutura com os campos  $key$  e  $pri$ , que guardam respectivamente a sua chave e prioridade.

- Admitindo que o peso dos arcos do grafo está limitado por uma dada constante  $X$ , qual o número máximo de prioridades distintas a manter na fila de prioridade?
- Admitindo que as complexidades das operações associadas à fila de prioridade mínima são aquelas as dadas na alínea 1., indique a complexidade assintótica do algoritmo de Prim. Deve justificar a resposta.

### Solução:

- Mantemos um vector com uma posição por prioridade e associamos a cada prioridade uma lista duplamente ligada com elementos com essa prioridade. Adicionalmente, guardamos a prioridade mínima associada a um elemento da fila. O diagrama que ilustra a implementação é dado em baixo:



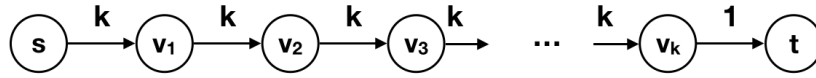
Operações:

- ExtractMin**(Queue  $q$ )  $\in O(Z)$ : remove o primeiro elemento da lista duplamente ligada associada à prioridade mínima.
- DecreaseKey**(Queue  $q$ , Elem  $elem$ , int  $pri$ )  $\in O(1)$ : remove o elemento  $elem$  da lista duplamente ligada que o contém para depois o inserir na lista duplamente ligada associada à nova prioridade.



- **MakeQueue**(**Elem**[] **elems**)  $\in O(n)$ : todos os elementos são inseridos nas listas duplamente ligadas correspondentes às suas prioridades.
2. A fila de prioridade tem que manter no máximo  $X+2$  prioridades distintas porque há que contar com a prioridade 0 e com a prioridade  $\infty$ .
  3. O algoritmo de *Prim* executa  $|V|$  iterações do ciclo principal que remove os vértices da fila de prioridade e  $|E|$  iterações do ciclo interior que percorre as adjacências de cada vértice. Todas as operações realizadas em cada iteração dos dois ciclos (**DecreaseKey** e **ExtractMin**) se fazem em tempo constante, pelo que a complexidade do algoritmo é agora  $O(V + E)$ .

E) Considere a aplicação do algoritmo Push-Relabel à rede de fluxo que se apresenta em baixo:



Durante a resolução do exercício admita que  $k$  é um inteiro ímpar superior a 1.

1. Determine o número exacto de operações de push e relabel a ser efectuadas durante a aplicação do algoritmo em função de  $k$ , bem como o respectivo limite assintótico superior.
2. Considere a seguinte heurística, designada por *heurística de intervalo*, a aplicar durante a execução do algoritmo:

Se existir uma altura  $0 < k < |V|$  tal que nenhum vértice do grafo tem altura  $k$ , então é atribuída a todos os vértices  $v \in V \setminus \{s, t\}$  com altura superior a  $k$  a altura:  $\max(v.h, |V| + 1)$ .

Determine o número exacto de operações de push e relabel a ser efectuadas durante a aplicação do algoritmo de Push-Relabel ao grafo da figura em função de  $k$  considerando a aplicação da heurística de intervalo, bem como o respectivo limite assintótico superior.

3. Recorde o invariante de *função de altura* usado para estabelecer a correcção do algoritmo de Push-Relabel. Mostre que a aplicação da heurística de intervalo ao grafo apresentado não viola este invariante.

### Solução:

1. Para contar o número de pushes e relabels, é útil estabelecer primeiro o número de travessias de ida-e-volta do grafo. As alturas dos vértices  $v_1$  e  $v_k$  variam da seguinte maneira:

Travessia	$h(v_1)$	$h(v_k)$
0	0	0
1	1	2
2	3	4
$\vdots$	$\vdots$	$\vdots$
$i$	$2i - 1$	$2i$

Paramos de empurrar fluxo da esquerda para a direita quando  $h(v_1) = h(s) = k + 2$ . Resolvendo para  $i$  obtemos:  $2i - 1 = k + 2 \Leftrightarrow i = \frac{k+3}{2}$ . Contamos o número de pushes e relabels por travessia:

Travessia	# Pushes	# Relabels
0	$2.(k - 1) + 2$	$2.(k - 1) + 1$
1	$2.(k - 1)$	$2.(k - 1)$
2	$2.(k - 1)$	$2.(k - 1)$
$\vdots$	$\vdots$	$\vdots$
$\frac{k+3}{2}$	$2.(k - 1) + 1$	$2.(k - 1) + 1$
Total:	$(k + 3).(k - 1) + 3$	$(k - 1).(k + 3) + 2$

Na primeira travessia temos 2 pushes adicionais (de  $s$  para  $v_1$  e de  $v_k$  para  $t$ ) e 1 relabel adicional (de  $h(v_k)$  para 1). Na última travessia temos 1 push adicional (de  $v_1$  para  $s$ ) e 1 relabel adicional (de  $h(v_1)$  para  $k + 3$ ).

2. No final da primeira ida-e-volta todos os vértices intermédios têm altura 2 excepto o vértice  $v_1$  que tem altura 1. Quando a altura de  $v_1$  é subida para 3, estamos nas condições da heurística de intervalo e a altura de todos os vértices é subida para  $k + 3$ . Contamos apenas os pushes e relabels da primeira ida-e-volta, incluindo os relabels da aplicação da heurística:

- *Número de pushes:*  $2(k - 1) + 3$
- *Número de relabels:*  $2(k - 1) + 2 + k = 3k$

3. O invariante de altura estabelece que  $(u, v) \in E_f$  então  $h(u) \leq h(v) + 1$ . Para mostrarmos que aplicação da heurística não viola o invariante de altura consideramos a rede residual no momento da aplicação da heurística e as novas alturas obtidas. A rede residual é composta por 4 tipos de arcos:

- $(t, v_k)$ :  $h(t) = 0 \leq h(v_k) + 1 = k + 3 + 1 = k + 4$
- $(v_i, v_{i+1})$ :  $h(v_i) = k + 3 \leq h(v_{i+1}) + 1 = k + 4$
- $(v_{i+1}, v_i)$ :  $h(v_{i+1}) = k + 3 \leq h(v_i) + 1 = k + 4$
- $(v_1, s)$ :  $h(v_1) = k + 3 \leq h(s) + 1 = k + 3$